

МЕТОД РАСЧЁТА НЕЛИНЕЙНЫХ ИСКАЖЕНИЙ В УСТРОЙСТВАХ, СОДЕРЖАЩИХ PIN-ДИОДЫ

METHOD OF CALCULATION NONLINEAR DISTORTIONS IN THE DEVICES CONTAINING PIN-DIODES

N. Unru

Annotation

The question on nonlinear distortions of a high-frequency signal in pin-diodes is considered. The method of calculation is offered and the analytical expressions allowing simply and precisely enough to calculate level of nonlinear distortions in devices, containing pin-diodes are presented. The settlement data experimental and corresponding to them is cited.

Keywords: pin-diode, distortions, nonlinear.

Унру Николай Эдуардович

К. т. н., доцент, каф. радиоприёмных и радиопередающих устройств, радиотехника, Новосибирский государственный технический университет, г. Новосибирск

Аннотация

Рассмотрен вопрос о нелинейных искажениях высокочастотного сигнала в pin-диодах. Предложен метод расчёта и представлены аналитические выражения, позволяющие просто и достаточно точно рассчитать уровень нелинейных искажений в устройствах, содержащих pin-диоды. Приведены экспериментальные и соответствующие им расчётные данные.

Ключевые слова:

Pin-диод, искажения, нелинейные.

Проблема нелинейного преобразования входных сигналов в устройства, содержащих pin-диоды, рассматривается в работах [1 – 3] и др. Однако использовать метод рядов Вольтера, обладающий хорошей точностью и универсальностью, для анализа нелинейных искажений на практике достаточно трудно, так как он требует большого объёма вычислений. Полученные же в [1] аналитические выражения пригодны лишь для расчёта нелинейных искажений в цепях с прямосмещёнными pin-диодами при уровне входной мощности не более + 30 дБ/мВт и при дифференциальном сопротивлении прямосмещённого pin-диода, много меньшем волнового сопротивления тракта передачи, содержащего последовательно включённый pin-диод. Представленный же в [2, 3] метод расчёта ориентирован больше не на разработчиков радиоэлектронных устройств, а на разработчиков самих pin-диодов, так как основан на использовании характеристических параметров диодов, отсутствующих в справочной литературе.

В данной работе предлагаются аналитические выражения, с помощью которых можно рассчитать уровень нелинейных искажений как при прямом, так и при обратном смещении на pin-диодах, справедливые при менее жёстких ограничениях, чем в [1], а также при меньших ограничениях, накладываемых на схемотехнику устройства, например, в дискретно перестраиваемых фильтрах [4 и др.].

Активная дифференциальная проводимость pin-диода при обратном смещении зависит от частоты [5] и не может быть определена по обратной ветви статической вольт-амперной характеристики. Однако ёмкость обратносмещённого pin-диода можно считать постоянной, так как влияние нелинейности этой зависимости от напряжения обратного смещения значительно меньше влияния нелинейности зависимости активной проводимости. Будем считать, что последняя зависимость представлена полиномом

$$\frac{di}{dU} = \beta_0 + \beta_1 U + \beta_2 U^2 \quad (1)$$

где β_0 , β_1 , β_2 – постоянные коэффициенты; U – напряжение. Отличительные качества прямосмещённого pin-диода по сравнению с другими полупроводниково-выми СВЧ диодами с резистивной нелинейностью обусловлены наличием в i-области объёмного заряда Q_0 за счёт постоянного тока I_0 . Это позволяет ввести понятие квазиёмкости прямосмещённого pin-диода при постоянном напряжении на нём U_0 :

$$C_0 = \frac{Q_0}{U_0} \quad (2)$$

Под действием протекающего через прямосмещённый pin-диод гармонического высокочастотного (ВЧ) тока

$$i(t) = I_m \sin(\omega t) \quad (3)$$

амплитудой I_m и круговой частотой $\omega = 2\pi/T$, величина заряда i -области будет также изменяться с той же частотой и амплитудой

$$q = \int_0^{T/2} i(t) dt = 2I_m/\omega = 2U_m k_1/\omega \quad (4)$$

где U_m – амплитуда ВЧ напряжения на диоде;

$$k_1 = \beta_0 + \beta_1 U_0 + \beta_2 U_0^2 \quad (5)$$

Вследствие этого мгновенное значение абсциссы рабочей точки p-i-n-диода на вольт-амперной характеристики (ВАХ) будет изменяться с амплитудой

$$U = \frac{q}{C_0} = 2U_m k_1 \frac{U_0}{\omega Q_0} \quad (6)$$

и, следовательно, границами рабочей области на ВАХ будут напряжения $U_0 - U$ и $U_0 + U$.

Происходит как бы "сжатие" амплитуды ВЧ напряжения на p-i-n-диоде в $2k_1 \frac{U_0}{\omega Q_0}$ раз по сравнению с чисто резистивной нелинейностью.

Сказанное будет справедливо при условии, что $q < Q_0$

$$\text{или иначе } I_m < \omega \frac{Q_0}{2} \quad (7)$$

Этим, в сущности, закончено описание способа сопоставления нелинейности, обладающей зарядом, резистивной нелинейности.

Продуктом нелинейного преобразования ВЧ напряжения будет ток I_H , который можно рассматривать как результат последовательного включения с активным дифференциальным сопротивлением p-i-n-диода источника напряжения с э. д. с.

$$E_H = \frac{I_H}{k_1} \quad (8)$$

как показано на рис. 1.

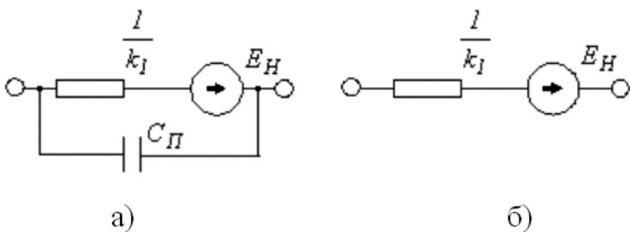


Рисунок 1. Эквивалентные схемы
обратносмещённого - а
и прямосмещённого - б p-i-n-диода

Выполнив несложные преобразования, находим, приведённые в табл. 1., выражения для E_H для различных критериев нелинейности (КН), при этом

$$k_2 = \frac{\beta_1}{2} + \beta_2 U_0 \quad (9)$$

$$k_3 = \frac{\beta_2}{3} \quad (10)$$

K_2, K_3 – коэффициенты гармоник по 2-ой и 3-ей гармоникам соответственно; $Ko2$ и $Ko3$ – коэффициенты гармоник соответственно 2-го и 3-го порядков огибающей амплитудно-модулированного сигнала с глубиной модуляции M ; $K11$ и $K12$ – соответственно коэффициенты интермодуляции 2-го и 3-го порядков; $Um1$ и $Um2$ – амплитуды ВЧ напряжения с частотами ω_1 и ω_2 соответственно.

Рассмотрим область применения предложенного метода расчёта. Очевидно, что для обратносмещённого p-i-n-диода во избежание пробоя требуется выполнение неравенства

$$\text{где } U_{prob} > 2U_m, \quad (11)$$

U_{prob} – напряжение пробоя p-i-n-диода, а рассеиваемая прямосмещённым p-i-n-диодом ВЧ мощность не должна превышать предельно-допустимой или иначе

$$Im < 2k_1 P_m. \quad (12)$$

Приравняв (12) и (7), можно найти выражение для частоты f_C , выше которой более жестким является ограничение (12), а ниже – ограничение (7):

$$f_C = 2P_m k_1 / (\pi Q_0) \quad (13)$$

Для трёх типов p-i-n-диодов (условно малой, средней и большой мощности) при постоянном токе 100 мА в таблице 2 приведены значения f_C , P_m и $1/k_1$, откуда видно, что предлагаемый метод расчёта нелинейных искажений в p-i-n-диоде работоспособен для частот больших f_C при значительно больших уровнях ВЧ мощности, чем метод [1]. Для экспериментальной проверки предлагаемого метода использовался p-i-n-диод типа KA507A, последовательно включённый в 50-омную линию передачи, как показано на рис. 2 и рис. 3. Там же представлены результаты измерений и расчётов для прямого (рис. 2) и обратного (рис. 3) смещений. Вычисления выполнялись следующим образом. Сначала общизвестными методами теории цепей вычислялось значение Um на p-i-n-диоде. Потом по формулам табл. 1. рассчитывалось значение

$$E_H = 2k_1 k_2 U_0^2 / (\omega Q_0)^2$$

для прямосмещённого или

$$E_H = k_2 U_0^2 / (2k_1)$$

– для обратносмещённого p-i-n-диода.

Таблица 1.

| КН | При прямом смещении | При обратном смещении |
|-----|--|-------------------------------|
| K2 | $2k_1 k_2 U_0^2 U_m^2 / (\omega Q_0)^2$ | $k_2 U_m^2 / (2k_1)$ |
| K2 | $2k_1^2 k_3 U_0^3 U_m^3 / (\omega Q_0)^3$ | $k_3 U_m^3 / (4k_1)$ |
| Ko2 | $9/2 M^2 k_1^2 k_3 U_0^3 U_m^3 / (\omega Q_0)^3$ | $9M^2 k_3 U_m^3 / (16k_1)$ |
| Ko3 | $3/4 M^3 k_1^2 k_3 U_0^3 U_m^3 / (\omega Q_0)^3$ | $3M^3 k_3 U_m^3 / (32k_1)$ |
| K11 | $4k_1 k_2 U_0^2 U_{m1} U_{m2} / (\omega_1 \omega_2 Q_0^2)$ | $k_2 U_{m1} U_{m2} / k_1$ |
| K!2 | $6k_1^2 k_3 U_0^3 U_{m1} U_{m2} / (\omega_1 \omega_2 Q_0^3)$ | $3k_3 U_{m1} U_{m2} / (4k_1)$ |

Затем опять методами электрических цепей рассчитывался уровень нелинейного продукта на нагрузке. результат сравнения **рис. 2** и **рис. 3** противоречит выводу [1] о том, что уровни нелинейных продуктов в p-i-n-диоде при обратном смещении гораздо меньше, чем при прямом. К сказанному следует добавить, что нелинейные свойства p-i-n-диодов могут сильно различаться от образца к образцу даже для диодов одного типа. Это может в отдельных случаях заставить производить подбор p-i-n-диодов по нелинейным свойствам (см. p-i-n-диоды 2Д531А-6, 2Д531Б-6 [6]).

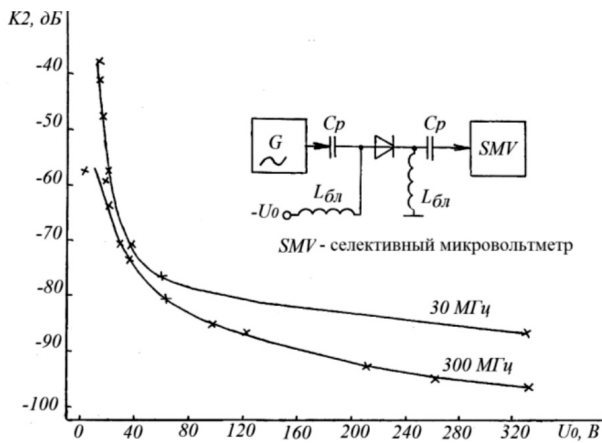


Рисунок 2. Экспериментальные - \times и теоретические - \diagdown зависимости $K2$ от тока прямого смещения.

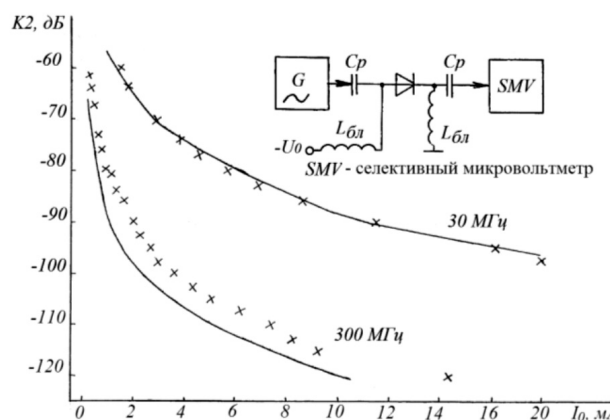


Рисунок 3. Экспериментальные - \times и теоретические - \diagdown зависимости $K2$ от тока прямого смещения.

Последнее хорошо видно из **рис. 4**, на котором для 3-х экземпляров p-i-n-диодов типа КА507А изображены экспериментальные и теоретические зависимости значений $K12$ от напряжения обратного смещения, а также схема измерений. Измерения и расчёты выполнены для частот интермодуляционных составляющих 162 и 164 МГц и их значения достаточно хорошо совпадают.

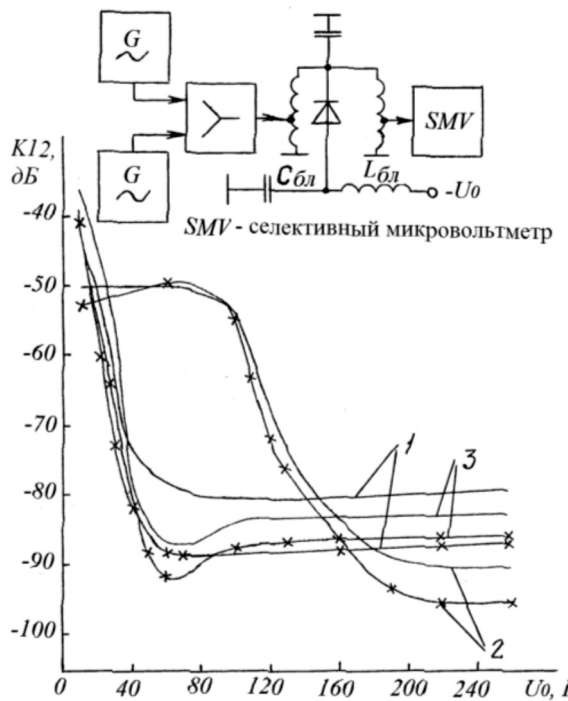


Рисунок 4.
Экспериментальные - \times
и теоретические - \diagdown зависимости $K12$
от напряжения обратного смещения.

ВЫВОД

Предложен простой метод расчёта нелинейных искажений, порождаемых $p-n$ -диодом, который может быть с достаточной достоверностью использован на практике.

ЛИТЕРАТУРА

1. Hiller G., Caverly R. Microwaves and RF, vol. 24, 1985, N 13, pp. 103–105, 107–108; vol. 25, 1986, N 1, pp. 111–113, 115–116.
2. Абрамов А. А., Кошоридзе С.И. – Изв. вузов СССР, сер. Радиоэлектроника, 1991, N 3, с. 42 – 47.
3. Абрамов А. А., Горбатый И.Н., Кошоридзе С.И., Ткачёв В.А. – Радиотехника и электроника, т. 34, 1989, N 1, с. 147–154.
4. Унру Н.Э. Методы синтеза дискретно перестраиваемого резонатора на отрезке регулярной длинной линии. – Радиотехника, 2010, № 1 – с. 82–87.
5. Хижя Г.С., Вендинк И.Б., Серебрякова Е.А. СВЧ фазовращатели и переключатели. – М.: Радио и связь, 1984, 184 с.
6. Хрулёв А.К., Черепанов В.П. Диоды и их зарубежные параметры. Справочник. В 3 т. т. 2. – М.: ИП РадиоСофт, 2001. – 640 с.

© Н.Э. Унру, [nickonpro@ngs.ru], Журнал «Современная наука: актуальные проблемы теории и практики»,



Новосибирский государственный технический университет